

UYARLAMALI AĞLAR İÇİN ENTROPI MİNİMİZASYONUNA DAYALI GÜRBÜZ BİR ALGORİTMA

ENTROPY MINIMIZATION BASED ROBUST ALGORITHM FOR ADAPTIVE NETWORKS

Kivanc Kose, A. Enis Cetin

Elektrik ve Elektronik Mühendisliği Bölümü
Bilkent Üniversitesi
kkivanc,cetin@ee.bilkent.edu.tr

Osman Gunay

MIKES Mikrodalga Elektronik Sistemler Sanayi
ve Ticaret A.S., Akyurt 06750 - Ankara
osman.gunay@mikes.com.tr

ÖZETÇE

Bu makalede birden fazla boğumdan oluşan ağlarda boğumların dürtü tepkilerinin hesaplanması problemi ele alınmıştır. Boğumların birbirleriyle etkileşim içinde oldukları durumda kaynaşma dayalı yöntemlerin boğumları tek tek ele almakta daha efektif oldukları daha önceki çalışmalarda gösterilmiştir. Biz burada uyarlamalı filtreleme admında bir yenilik olarak entropik fonksiyonele dayalı bir optimizasyon önermektedir. Bu yeni yöntemi Gauss ve ε -kirlenmiş gürültü altındaki sistemlerde test etmektedir. Sonuçlar göstermektedir ki önerilen yöntem epsilon-kirlenmiş gürültü altında uyarlamalı filtrenin hata seviyesinde iyileştirme sağlamaktadır.

ABSTRACT

In this paper, the problem of estimating the impulse responses of individual nodes in a network of nodes is dealt. It was shown by the previous work in literature that when the nodes can interact with each other, fusion based adaptive filtering approaches are more effective than handling nodes independently. Here we are proposing the use of entropy functional based optimization in the adaptive filtering stage. We tested the new method on networks under Gaussian and ε -contaminated Gaussian noise. The results show that the proposed method achieves significant improvements in the error rates in case of ε -contaminated noise.

1. GİRİŞ

Bu makalede bir ağ üzerinde bulunan boğumların dürtü tepkilerinin tahmin edilebilmesinde kullanılabilcek bir yöntem önermektedir. Ağ üzerindeki her boğumun dürtü tepkisini birbirlerinden bağımsız bir şekilde tek tek hesap etmek maliyetli bir yöntemdir. Bunun yerine Sayed [1]'de boğumların etkileşim içinde olup birbirlerinin davranışlarını etkileyebildiği, kooperatif çalışabilen bazı algoritmalar önermiş ve bunları birbirleriyle karşılaştırmıştır. [1]'de sunulan sonuçlar göstermektedir ki önerilen bu yöntemler, boğumları birbirlerinden bağımsız olarak tek tek ele almaktan daha iyi bir performans sağlamaktadır.

Biz burada, [1]'de verilen kooperatif algoritmaları daha hızlı yakınsamaya ve ε -kirlenmiş (ε -contaminated)

Bu çalışma TÜBİTAK tarafından 111E057 projesi kapsamında des- teklendi.

978-1-4673-0056-8/12/\$26.00 ©2012 IEEE

gürültü gibi durumlara karşı daha gürbüz yapmaya yönelik değişiklikler önermektedir. Bunu yaparken de yeni bir maliyet fonksiyoneli ve bu maliyet fonksiyonelini kullanan entropiye dayalı yeni bir izdüşüm operasyonu tanımlamaktayız.

Bu makalede ilk olarak [1]'de bahsi geçen algoritmalar üzerinden makale boyunca kullanacağımız notasyonu tanıtabağız. Daha sonra yeni bir maliyet fonksiyonu olarak eksi sonsuzdan artı sonsuza kadar dışbükey olan entropiye dayalı yeni bir fonksiyonel tanımlayıp bunu [1]'de bahsi geçen birden fazla boğum noktasından oluşan ağ topolojilerinin dürtü tepkilerininkestiriminde kullanacağız. Makalenin sonunda da algoritmamızı Ref. [1]'de elde edilen sonuçlar ile karşılaştıracağız.

2. PROBLEM FORMÜLASYONU VE NOTASYON

Farzedelim ki elimizde bir doğrusal bağlanım modeline göre ölçüm alabilen aynı h_s dürtü tepkisine sahip K tane boğum (örn. kablosuz sensör ağı üzerindeki sensörler) bulunmaktadır. Bu boğumların t anında aldığı ölçümler $d_i[t]$ şu şekilde ifade edilebilir;

$$d_i[t] = \sum_{k=0}^{M-1} h_s[k] u_i[t-k] + n_i[t], \quad i = 1, \dots, K \quad (1)$$

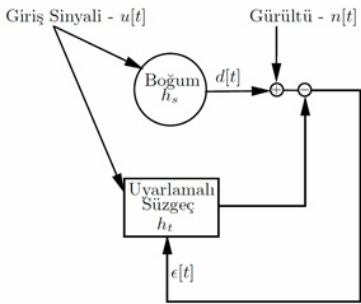
Burada $u_i[t]$, $n_i[t]$, i numaralı boğumun t anında sırasıyla girdi, ve gürültü işaretlerini ve h_s ise boğumların M uzunluğundaki dürtü tepkisini temsil etmektedir. Aynı sistemi ileride notasyonun daha kolay anlaşılmasına açısından vektörel olarak,

$$d_i[t] = \mathbf{h}_s \mathbf{u}_{i,t} + n_i[t] \quad (2)$$

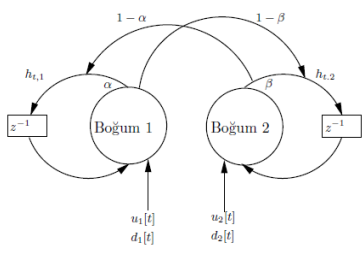
şeklinde de ifade edebiliriz.

Bu boğumların aynı ağ üzerinde bulunduğu fakat birbirleri ile etkileşim içinde olmadıkları durumlarda, her boğum için bağımsız olarak Şekil 1'de gösterilen uyarlamalı süzgeç içeren modeli kullanarak, boğumların dürtü modellerini tahmin edip, gürültüden daha az etkilenen bir çıkış işaretini elde etmek mümkündür. LMS algoritması bu amaçla literatürde sıkılıkla kullanılır [2, 3].

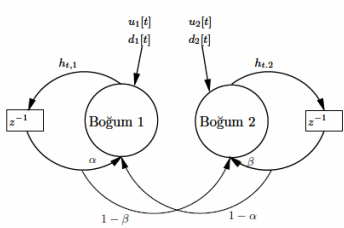
LMS algoritması, M uzunluğunda rastgele bir başlangıç süzgeci \mathbf{h}_o belirleyerek başlar. Bu süzgecin t anındaki katayılarını hata sinyali ϵ_t ve giriş sinyalinin t anından itibaren



Şekil 1: Tek bogum için uyarlamalı süzgeçleme modeli.



(a) ATC yönteminin diyagramı



(b) CTA yönteminin diyagramı

Şekil 2: ATC ve CTA yöntemlerinin iki bogumlu sistem üzerinde gösterimi [1].

M birim geriye dönük örneğinden oluşan \mathbf{u}_t vektörünü kullanarak döngülü olarak şu şekilde günceller:

$$\mathbf{h}_{t+1} = \mathbf{h}_t + \mu \boldsymbol{\epsilon}_t \mathbf{u}_t, \quad \mathbf{u}_t = [u[t], \dots, u[t-M-1]]. \quad (3)$$

Burada μ öğrenme katsayıısı ve $\boldsymbol{\epsilon}_t$ ’de t anında uyarlamalı süzgeç tahmininin hata sinyali olup,

$$\boldsymbol{\epsilon}_t = d[t] - \tilde{d}[t] = d[t] - \mathbf{h}_t \mathbf{u}'_t \quad (4)$$

Şekilde hesaplanır [4, 5]. LMS algoritması aslında her adımda hatanın karesini en küçültmeye çalışmaktadır. Düzgelenmiş LMS (NLMS) algoritması (3)’de verilen formülasyonda $\mu = \frac{1}{\|\mathbf{u}_t\|^2}$ olduğu durumda sistem aslında;

$$\min_{\mathbf{h}_t} \|\boldsymbol{\epsilon}_t\|_2 \quad \text{öyle ki} \quad d[t] = \mathbf{h}_t \mathbf{u}'_t, \quad t = 0, 1, \dots \quad (5)$$

Şekilde yazılabilen dik izdüşüm problemi çözülmektedir [6]. LMS algoritması sayesinde iteratif olarak güncellenen süzgeç katsayıları bir adım sonrası adımda oluşacak çıkış işaretinin tahmin edilmesinde kullanılır.

Ağ üzerindeki bogumların birbirleri ile etkileşbildikleri

durumda ise, her bogum için Şekil 1’de verilen modeli kullanarak LMS algoritmasını kullanmanın en iyi ve en hızlı sonucu vermediği [1]’de gösterilmiştir. Sayed [1]’de 4 farklı etkileşim modeli önermiş ve bunları karşılaştırarak performanslarını sunmuştur. Önerilen bu modellerden en başarılı olanları sırasıyla Şekil 2(a) ve 2(b)’te gösterilen *uyarla ve birleştir* (*adapt and combine* - ATC) ve *birleştir ve uyarla* (*combine and adapt* - CTA) yöntemleridir. Sistemlerin dürtü tepkilerini ayrı ayrı bulmak yerine, ATC ve CTA yöntemlerinde anlık dürtü tepkilerinin hesaplanması sırasında bogumların birbirlerini etkileşmelerine izin verilmiştir. Mesela ATC yönteminin iki bogumlu bir sisteme uygunlanması durumunda güncelleme adımları

$$\begin{aligned} \text{Boğum 1 : } & \begin{cases} \phi_{1,t} = h_{1,t-1} + \mu \boldsymbol{\epsilon}_{1,t} \mathbf{u}_{1,t} \\ \mathbf{h}_{1,t} = \alpha \phi_{1,t} + (1-\alpha) \phi_{2,t} \end{cases} \quad (6) \end{aligned}$$

$$\begin{aligned} \text{Boğum 2 : } & \begin{cases} \phi_{2,t} = h_{2,t-1} + \mu \boldsymbol{\epsilon}_{2,t} \mathbf{u}_{2,t} \\ \mathbf{h}_{2,t} = \alpha \phi_{2,t} + (1-\alpha) \phi_{1,t} \end{cases} \quad (7) \end{aligned}$$

şeklinde olmaktadır. CTA methodunda ise bu güncelleme adımları

$$\begin{aligned} \text{Boğum 1 : } & \begin{cases} \phi_{1,t-1} = \alpha \mathbf{h}_{1,t-1} + (1-\alpha) \mathbf{h}_{2,t-1} \\ \mathbf{h}_{1,t} = \phi_{1,t-1} + \mu \boldsymbol{\epsilon}_{1,t} \mathbf{u}_{1,t} \end{cases} \quad (8) \end{aligned}$$

$$\begin{aligned} \text{Boğum 2 : } & \begin{cases} \phi_{2,t-1} = \beta \mathbf{h}_{2,t-1} + (1-\beta) \mathbf{h}_{1,t-1} \\ \mathbf{h}_{2,t} = \phi_{2,t-1} + \mu \boldsymbol{\epsilon}_{2,t} \mathbf{u}_{2,t} \end{cases} \quad (9) \end{aligned}$$

şeklindedir. (6)-(9)’da verilen ATC ve CTA algoritmalarının uyarlama adımlarında da LMS algoritması kullanılmaktadır.

3. ENTROPİK FONKSİYONEL VE D-İZDÜŞÜMÜ

ℓ_1 optimizasyonu bir çok durumda ℓ_2 optimizasyonuna göre daha gürbüzdür. Fakat ℓ_1 optimizasyon problemlerinin çözümünde dışbükey optimizasyon yöntemleri kullanılmaz. Entropi fonksiyonu $g(x) = -x \log x$ sinyal ve resim işleme konularında başta Bregman [7] olmak üzere bir çok araştırmacı tarafından ℓ_1 optimizasyonunu yakınsamak ve doğrusal programlama problemlerinin çözümünde kullanılmıştır [8, 9, 10, 11, 12]. Biz burada entropik fonksiyonel olarak isimlendirdiğimiz ve orijinal entropi fonksiyonunun kaydırılıp, simetrik hale getirilmiş versiyonu olan

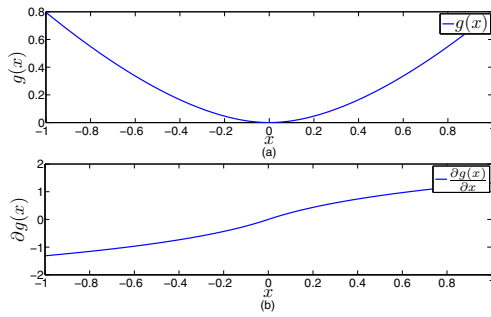
$$g(\mathbf{h}) = \sum_n (|\mathbf{h}[n]| + \frac{1}{e}) \ln(|\mathbf{h}[n]| + \frac{1}{e}) + \frac{1}{e}, \quad (10)$$

fonksiyonelini 3.1. bölümde tanımlayacağımız optimizasyon problemlerinde maliyet fonksiyonu olarak kullanacağız. Şunu da eklemeden geçmiyelim ki, logaritmanın tabanı değiştirilerek daha farklı fonksiyoneller türetmek mümkündür.

Bregman [7]’da, maliyet hesabında dışbükey ve sürekli türevlenebilir fonksiyonları kullanan optimizasyon problemlerinin döngülü olarak çözülmesine olanak sağlayan D-izdüşümü kavramını literatüre kazandırmıştır. D-izdüşümü操作larında maliyet fonksiyonu,

$$D(\mathbf{h}_p, \mathbf{h}_o) = g(\mathbf{h}_o) - g(\mathbf{h}_p) - \langle \nabla g(\mathbf{h}_p), \mathbf{h}_o - \mathbf{h}_p \rangle \quad (11)$$

şeklinde tanımlanır. Burada \mathbf{h}_o bir başlangıç vektörü ve \mathbf{h}_p ise \mathbf{h}_o ’yu maliyet fonksiyonuna göre en küçükleyen ve (1)’de verilen gibi bir üstünyüzeyde bulunan D-izdüşümü vektördür. Eğer



Şekil 3: Bir boyutlu entropik fonksiyonel (a) eğrisi ve (b) türevi.

Tablo 1: Simulasyonda kullanılan test ağlarının parametreleri.

M	μ	$\sigma_{d,1}^2$	$\sigma_{d,2}^2$	σ_u^2	α, β	İterasyon Sayısı	Deneme Sayısı
10	0.005	0.5	-	1	-	2000	1000
10	0.005	0.5	0.3	1	0.7	2000	1000

$g(\mathbf{h}) = \|\mathbf{h}\|^2$ şeklinde ise maliyet fonksiyonu $D(\mathbf{h}_p - \mathbf{h}_o) = \|\mathbf{h}_p - \mathbf{h}_o\|^2$ olup, direkt izdüşümüne denk gelir.

Şekil 3'de de görüldüğü üzere tanımladığımız bu fonksiyonel dış bükey ve sürekli türevlenebilir bir fonksiyondur. Uzaklık hesabında kullanılan maliyet fonksiyonunun dış bükey ve sürekli türevlenebilir olması halinde, D-izdüşümü operasyonları iteratif bir şekilde uygulanarak dışbükey optimizasyon problemleri çözülebilmektedir [7, 13, 14, 6]. Biz de 3.1. bölümde D-izdüşüm operasyonlarını kullanarak ATC ve CTA metodlarının yakınsama hızını artıtabilen ve ε -kirlenmiş gürültüye karşı daha gürbüz hale getiren bir uyarlamalı filtreleme metodu sunuyoruz.

3.1. UYARLAMALI ALGORİTMALAR

Yukarıda belirtildiği üzere (5)'de verilen optimizasyon problemi (10). denklem'de tanımladığımız entropik fonksiyoneli maliyet fonksiyonu olarak kullanarak çözülebilir. Bu durumda (5)'de verilen optimizasyon problemini yeniden

$$\min_{\mathbf{h}_{i,t}} D(\mathbf{h}_{i,t}, \mathbf{h}_o) \text{ öyle ki } d_i[t] = \mathbf{h}_{i,t} \mathbf{u}'_{i,t} \quad (12)$$

şeklinde formüle etmektedir.

Diyelim ki, $\mathbf{h}_{i,0}$ rastgele bir başlangıç süzgeci olsun. $\mathbf{h}_{i,0}$ filteresinin D-izdüşümü olan $\mathbf{h}_{i,1}$ katsayı vektörü,

$$sgn(\mathbf{h}_{i,1}).ln(|\mathbf{h}_{i,1}| + \frac{1}{e}) = sgn(\mathbf{h}_{i,0}).ln(|\mathbf{h}_{i,0}| + \frac{1}{e}) + \lambda \mathbf{u}_{i,0} \quad (13)$$

ve

$$d_i[t] = \mathbf{h}_{i,t} \mathbf{u}'_{i,t} \quad (14)$$

beraber çözülerek hesaplanabilir. Daha sonra bu yeni filtre katsayıları kullanılarak bir sonraki sistem çıktıtı tahmini hesaplanır ve algoritma döngülü olarak devam eder. Adımlar sırasında kullanılan kısıtlama kümelerinin içbükey olması dolayısıyla, POCS (Projection onto convex sets) teorisine göre iteratif izdüşümler sayesinde bulunan filtre katsayıları, sistemin gerçek tepki katsayılarına yakınsar [13, 6].

Yukarıda verilen adımlar her boğumun bağımsız olarak ele alındığı durumda, Algoritma 1'deki gibi uygulanabilir. Algoritma 1'de bahsi geçen e-İzdüşümü operasyonu denklem (12)'de anlatılan optimizasyon probleminin çözümüdür. Ağ üzerindeki boğumların etkileşim içinde oldukları durumda kullanılabilenek

Algoritma 1 E-İzdüşümü kullanılan uyarlamalı süzgeçleme algoritmasının sözde programı

```

Öncülleme: Rastgele bir  $h_o$  ve  $d$ 
while  $\exists d_1[t], u_1[t] \in \mathbb{R}$ 
     $\theta_{1,t} = \text{E-İzdüşümü}(\mathbf{h}_{1,t}, d_1[t]) = \mathbf{h}_{1,t} \mathbf{u}'_{1,t}$ 
     $\mathbf{h}_{1,t+1} = (1 - \delta)\mathbf{h}_{1,t} + \delta\theta_{1,t}$ 
end

```

Algoritma 2 E-İzdüşümü kullanarak 2 boğumlu sistemde ATC uyarlamalı süzgeçleme algoritmasının sözde programı

```

Öncülleme: Rastgele bir  $h_o, \alpha, KorNodes$ 
while  $\exists d_1[t], u_1[t], d_2[t], u_2[t] \in \mathbb{R}$ 
    for  $i = 1, 2$ 
         $\theta_{i,t} = \text{E-İzdüşümü}(\mathbf{h}_{i,t}, d[t]) = \mathbf{h}_{i,t} \mathbf{u}'_{i,t}$ 
         $\phi_{i,t} = (1 - \delta)\mathbf{h}_{i,t} + \delta\theta_{i,t}$ 
    end
         $\mathbf{h}_{1,t+1} = (\alpha)\theta_{1,t} + (1 - \alpha)\theta_{2,t}$ 
         $\mathbf{h}_{2,t+1} = (\beta)\theta_{2,t} + (1 - \beta)\theta_{1,t}$ 
end

```

olan adımlar ise Algoritma 2 de verilmektedir.

4. SONUÇLAR

İki farklı ağ kullanarak Algoritma 1 ve 2'yi test edip, [1]'da sunulan sonuçlarla karşılaştırılmaktayız. Bunlardan ilki tek boğumlu bir sistemin dürtü tepkisinin hesaplanması, diğeri ise iki boğumdan oluşan sistemin dürtü tepkisinin (6) ve (7)'da verilen ATC yöntemi kullanılarak hesaplanmasıdır. Ağ parametreleri tablo 1'de verilmektedir.

Önerdiğimiz, entropik fonksiyoneli kullanan uyarlamalı süzgeçleme yöntemi ile [1]'de önerilen yöntemlerin performanslaştırmasını,

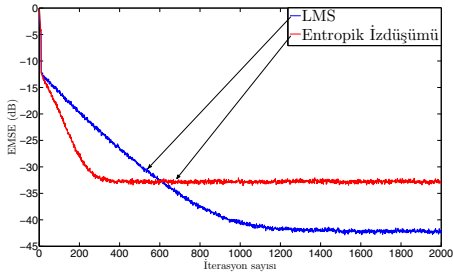
$$EMSE_i \triangleq \lim_{t \rightarrow \infty} E|\mathbf{u}_i[t](\mathbf{h}_o - \mathbf{h}_{i,t-1})|^2 \quad (15)$$

şeklinde tanımlanan *artık ortalama kare hata (excess mean square error - EMSE)* ölçüvi üzerinde yapmaktadır. Testlerde iki farklı gürültü modeli kullanıldı. Bunlardan ilki [1] makalesinde de kullanılan sıfır ortalamalı $\sigma_{d,i}^2$ değişintili Gauss dağılımlı beyaz gürültüdür ($N_{\sigma_{d,i}}$). Diğer ise ε -kirlenmiş gauss dağılımlı beyaz gürültü ($\bar{N}_{\sigma_{d,i}}$) olup, değişintileri $\sigma_{d,i}^2$ ve $\gamma\sigma_{d,i}^2$ olan iki Gauss dağılımlı beyaz gürültünün birleşiminden

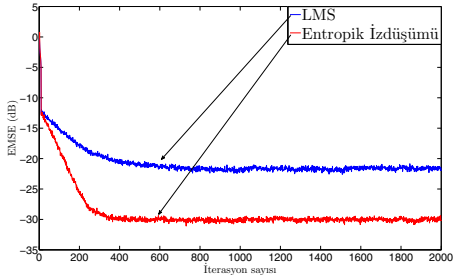
$$\bar{N}_{\sigma_{d,i}} = (1 - \varepsilon)N_{\sigma_{d,i}} + \varepsilon N_{\gamma\sigma_{d,i}} \quad (16)$$

şeklinde oluşmaktadır. Burada $\varepsilon << 1$ ve $\gamma >> 1$ şeklinde seçilen iki sabit olup, testlerde $\varepsilon = 0.01$ ve $G = 10000$ olarak seçilmiştir.

İlk olarak LMS ve önerilen yöntemleri Tablo 1'de verilen parametreleri kullanarak tek boğumlu ağ üzerinde karşılaştırılmıştır. Şekil 4'de sunulan sonuçları elde ettik. Şekil 4(a)'da da görüldüğü üzere, önerilen yöntem Gauss gürültüsü olan durumlarda LMS kadar iyi bir EMSE hata seviyesine erişememektedir. Fakat E-izdüşümü ℓ_1 optimizasyonuna yakınsandığından dolayı daha gürbüz sonuçlar vermektedir. Şekil 4(b)'da da görüldüğü üzere, çıkış sinyalinde ε -kirlenmiş gürültünün bulunduğu bulunduğu durumlarda önerilen yöntem LMS'e göre daha başarılı olmuştur.



(a) Tek boğumlu ağıda, $\sigma_{v,i}$ 'ın Gaussian gürültü olduğu durumda EMSE'nin döngüler sırasındaki değişimi



(b) Tek boğumlu ağıda, $\sigma_{v,i}$ 'ın epsilon-kirlenmiş Gaussian gürültü olduğu durumda EMSE'nin döngüler sırasındaki değişimi

Şekil 4: Tek boğumlu ağı için yapılan simülasyonların sonucu

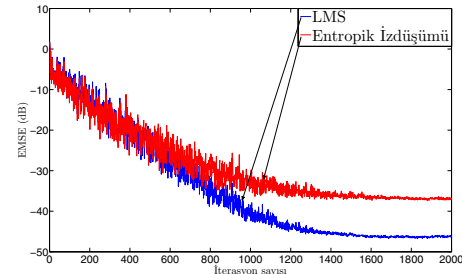
Tablo 1'de verilen parametreleri kullanarak, LMS ve önerilen algoritmaları iki boğumlu ağı üzerinde ATC yöntemini kullanarak test ettim. Şekil 5'de de görüldüğü üzere önerilen algoritmanın birden fazla boğum bulunduran ağlarda kullanılması durumunda da tek boğumlu ağlara benzer şekilde daha gürbüz sonuçlar elde edilmektedir.

5. VARGILAR

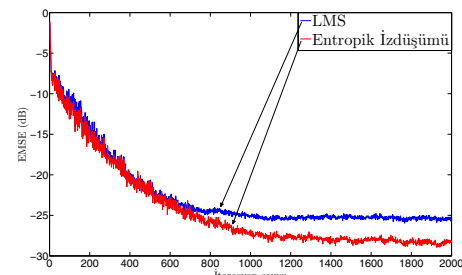
Bu makalede bir veya birden fazla boğuma sahip ağların dürtü tepkilerini öngörmek ve boğum çıktılarını gürültüden daha az etkilenir hale getirmek amacıyla kullanılabilecek bir uyarlamalı süzgeçleme algoritması önerilmiştir. Önerilen algoritmanın Gauss gürültü karşısındaki başarım seviyesi LMS algoritması kadar iyi değildir. Fakat önerilen algoritma ℓ_1 optimizasyonuna yakınsaması sayesinde ε -kirlenmiş, kuyruğu kalın (heavy-tailed) türde, algoritma gürbüzlüğünü daha çok sınayan durumlardan, LMS'e kıyasla daha az etkilenmekte ve daha yüksek başarım sağlamaktadır.

6. KAYNAKÇA

- [1] Xiaochuan Zhao and Ali H. Sayed, “Performance limits of lms-based adaptive networks,” in *International Conference on Acoustics, Speech and Signal Processing (ICASSP)*, IEEE, May 2011, pp. 3768 –3771.
- [2] Monson H. Hayes, *Statistical Digital Signal Processing and Modeling*, Wiley, 1996.
- [3] Ali H. Sayed, *Adaptive Filters*, John Wiley & Sons, 2008.
- [4] N Bershad, “Analysis of the normalized lms algorithm with gaussian inputs,” *IEEE Transactions on Acoustics Speech and Signal Processing*, vol. 34, no. 4, pp. 793–806, 1986.
- [5] A. Weiss and D. Mitra, “Digital adaptive filters: Conditions for convergence, rates of convergence, effects of noise



(a) İki boğumlu ağıda, $\sigma_{v,i}$ 'ın Gaussian gürültü olduğu durumda EMSE'nin döngüler sırasındaki değişimi



(b) İki boğumlu ağıda, $\sigma_{v,i}$ 'ın epsilon-kirlenmiş Gaussian gürültü olduğu durumda EMSE'nin döngüler sırasındaki değişimi

Şekil 5: İki boğumlu ağı için yapılan simülasyonların sonucu

and errors arising from the implementation,” *IEEE Transactions on Information Theory*, vol. 25, no. 6, pp. 637 – 652, Nov 1979.

- [6] K. Slavakis S. Theodoridis and I. Yamada, “Adaptive learning in a world of projections,” *Signal Processing Magazine, IEEE*, vol. 28, no. 1, pp. 97 –123, Jan 2011.
- [7] L. M. Bregman, “The relaxation method of finding the common point of convex sets and its application to the solution of problems in convex programming,” *USSR Computational Mathematics and Mathematical Physics*, vol. 7, pp. 200–217, 1967.
- [8] G. T. Herman, “Image reconstruction from projections,” *Real-Time Imaging*, vol. 1, no. 1, pp. 3–18, 1995.
- [9] Censor and A. Lent, “An iterative row-action method for interval convex programming,” *Journal of Optimization Theory and Applications*, vol. 34, no. 3, pp. 321–353, 1981.
- [10] H. Tuy Lent, “An iterative method for the extrapolation of band-limited functions,” *Journal of Mathematical Analysis and Applications*, 83 (2), pp.1981, pp. 554–565, 1981.
- [11] A. E. Çetin, “An iterative algorithm for signal reconstruction from bispectrum,” in *IEEE Transactions on Signal Processing*, 1991, vol. 39, pp. 2621–2628.
- [12] A. E. Çetin and R. Ansari, “Convolution-based framework for signal recovery and applications,” in *Journal of the Optical Society of America*, 1988, vol. 5, pp. 1193–1200.
- [13] D. C. Youla and H. Webb, “Image restoration by the method of convex projections, part i-theory,” *IEEE Transactions on Medical Imaging*, vol. MI-I-2, pp. 81–94, 1982.
- [14] C. Pinar and S. A. Zenios, “An entropic approximation of ℓ_1 penalty function,” in *Transactions on Operational Research*, 1995, pp. 101–120.